

京都大学 防災研究所 正会員 江頭進治

・ 田中和男

1. 緒言 境界面のせん断たりの推定は、流れの内部構造および層厚や塩水楔の侵入長などを把握する際、極めて重要である。一般にこの問題は、界面抵抗係数と1で研究されており、我が国では内部波のエネルギー逸散に注目した研究が多数を占めている。しかし、この種の手法には、波形勾配などの点で難点があり、また、内部フルート数が増加すると抵抗係数が減少するといつて不合理な面もある。そこで、主流が乱流の場合、内部波によるエネルギー逸散は小さく、乱れや碎波による混合が内部抵抗の主因となり得ることを想定し、2層内の混合を考慮した運動方程式などに基づいてこの問題を考察する。

2. 基礎方程式 以下の議論は、非圧縮性流体、二次元流れを対象として、静水圧およびダルヌスク近似の条件下で進められる。図-1は、有限水城の上層密度差と記号を示したものである。乱流連行を考慮した一次元の連続式および質量保存則は、二次元流れに関するそれを control volume で積分することにより得られ、上・下層につけてそれそれぞれ次のようになる。

$$\partial d_1 / \partial t + \partial (U_1 d_1) / \partial x = W_e \quad \dots \dots (1), \quad \partial P_1 / \partial t + U_1 \partial P_1 / \partial x = \sigma P_1 d_1 / d_2 \quad \dots \dots (2)$$

$$\partial d_2 / \partial t + \partial (U_2 d_2) / \partial x = -W_e \quad \dots \dots (3), \quad \partial P_2 / \partial t + U_2 \partial P_2 / \partial x = 0 \quad \dots \dots (4)$$

ここで U_1, U_2 : 上・下層の平均流速, $\Delta P = P_2 - P_1$, W_e : 連行速度。

(2) 式左辺において、 $\partial P_1 / \partial t \ll U_1 \partial P_1 / \partial x$ と仮定し、(4) 式において、主流への連行を考えため、 $\partial P_2 / \partial x = 0$ と置ける。これらの条件と

(1) および (3) 式の条件を考慮して、上・下層につけて運動方程式を積分すると、定常状態に関する一次元運動量保存則が次式のように求まる。

$$2U_1 \frac{\partial \delta_1}{\partial x} - U_1^2 \frac{\partial d_1}{\partial x} - U_2 \frac{\partial d_2}{\partial x} - W_e = \frac{P_1}{P_0} g d_1 \sin \alpha - \frac{1}{2} \frac{\sigma}{P_0} g d_1 \frac{W_e}{U_1} - \frac{\tau_i}{P_0} \quad \dots \dots (5)$$

$$2U_2 \frac{\partial \delta_2}{\partial x} - U_2^2 \frac{\partial d_2}{\partial x} + U_1 W_e = \frac{P_2}{P_0} g d_2 \sin \alpha + \frac{1}{2} \frac{\sigma}{P_0} g d_2 \frac{\partial d_1}{\partial x} - \frac{\sigma P_1 g d_1}{P_0} \frac{W_e}{U_1} + \frac{\tau_i + \tau_b}{P_0} \quad \dots \dots (6)$$

ここで U_i : 界面流速, P_0 : 基準密度, $\delta_i = U_i d_i$, $\delta_2 = U_2 d_2$, α : 水平面と x 軸のなす角度。

(1) $W_e = \partial d_1 / \partial t = -\partial d_2 / \partial x$, $\partial \delta_1 / \partial x = 0$ の場合:

(5), (6) 式より重力項を消去し, $U_2 \neq 0$, $\tau_b \neq 0$, $W_e / U_1 = E$, $E = K F_i^2 = K / R_{ix}$ (F_i : 内部フルート数, R_{ix} : overall Nusselt number) および $\tau_i = \tau_b = P_0 U_1^2$ と置くと, 界面抵抗係数 f_i はつづけ解くと、次式が導かれる。

$$f_i = -2 \frac{1 - F_i^2}{F_i^2} \frac{\partial d_1}{\partial x} \frac{H - d_1}{H} + 2K F_i^2 \frac{U_1}{U_1} + K \frac{H - d_1}{H} \quad \dots \dots (7)$$

(2) $W_e = \partial \delta_1 / \partial x = -\partial \delta_2 / \partial x$ の場合:

この場合、上層流量の増加分は必然的に下層から補給されたため、

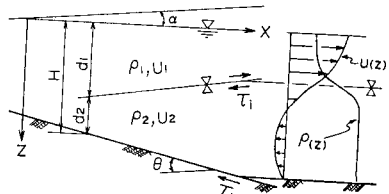


図-1. 上層密度流と記号

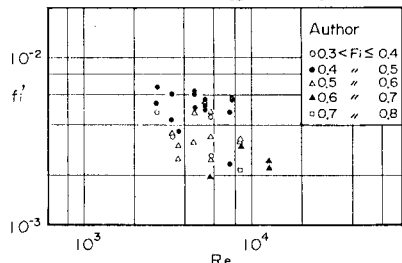
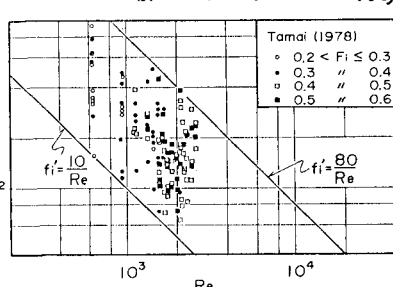
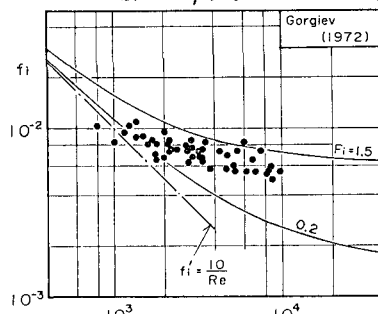
図-2. 上層密度流の f'_i ($W_e = \partial d_1 / \partial t$)図-3. 上層密度流の f'_i ($W_e = \partial \delta_1 / \partial x$)

図-4. 下層密度流と (7) 式の関係

$U_2 \neq 0$ で、しかも下流端近傍では、 $U_1 \approx |U_2|$ となることさえある。このことを考慮して f_i について角くと、

$$f_i = -2 \frac{1 - F_i^2}{F_i^2} \frac{\partial d_1}{\partial x} \frac{H-d_1}{H} - 2 \left(\frac{U_2}{U_1} \right)^2 \frac{\partial d_2}{\partial x} \frac{d_1}{H} + 2 K F_i^2 \frac{U_2}{U_1} + K (1 - 4 F_i^2 + 4 \left| \frac{U_2}{U_1} \right| F_i^2) \frac{d_1}{H}$$

$$- f_b \frac{U_2}{U_1} \left| \frac{U_2}{U_1} \right| \frac{d_1}{H} \quad \dots \dots \quad (8)$$

連続速度の現れ方の電子代表的な 2 例につけて抵抗係数の算定式が書かれ在。しかし、(8) 式の各項を評価すると、(7) 式との本質的な違いはほとんどなく、界面抵抗係数は (7) 式ではば表示できることが明らかである。

そこで (7) 式につけて、つぎのよう考察する。右辺第 1 項は、混合を無視したときの抵抗係数であり、純粹な粘性遮蔽と内保付で与えられたものと思われる。そこで、これを f'_i と置き、次の形で

$$第 1 項 = f'_i = A / R_e \quad \dots \dots \quad (9)$$

第 2、3 項は、乱流連行に伴う附加たる耗減するもの²⁾、これらの項に含まれる K は、著者¹⁾によると $K = 0.0015$ 、 U_2/U_1 は層流理論から、近似的に $U_2/U_1 = 0.69$ と置ける。以上のことを考慮すると、(9) 式は次のようになる。

$$f_i = \frac{A}{R_e} + 0.00207 F_i^2 + 0.0015 \frac{H-d_1}{H} \quad \dots \dots \quad (10)$$

3. 実験値との比較 図-2, 3 は、著者らによる公表されたデータにつけて (9) 式の関係を調べたもので、内部フルード数に対する有意味な差はなく

ほぼこの関係が認められる。図-4, 5, 6 には、全抵抗係数 f_i につけて、Georgiev⁴⁾, Lofquist⁵⁾ および著者らの実験値と (10) 式と比較したもののが示されている。比較的精度がよいとされてる Lofquist のデータと (10) 式の傾向はよく対応しており、同式の妥当性が示されたものと思われる。

4. 結語 以上、乱流連行に伴う 2 層間の混合効果を考慮した運動量方程式を導き、これに基づいて抵抗係数の推定式が提案された。従来の理論式や經驗則では、混合の活発化に伴う抵抗係数の増加を表示し得なかつたが、(10) 式は F_i についてこれを評価し得ることが明らかにされた。

参考文献

- 1) 芥田・江頭：密度躍層のある場における渦長の運動に関する研究(1)，京大防災研年報 18 号 B, 1975, PP. 585-592.
- 2) 江頭・芥田：成層密度流の構造に関する研究，京大防災研年報 22 号 B-2, 1979.
- 3) 佐井・浅枝：淡塩 2 層流境界面上における抵抗係数につけて，土木学会論文集，271 号，1978, PP. 67-81.
- 4) Georgiev, B.V.: Some Experimental Investigation on Turbulent Characteristics of Stratified Flow, Inter. Symp. Stratified Flows, 1972, PP. 309-315.
- 5) Lofquist, K.: Flow and Stress Near an Interface between Stratified Liquids, Physics of Fluids, Vol. 3, 1960, PP. 158-175.

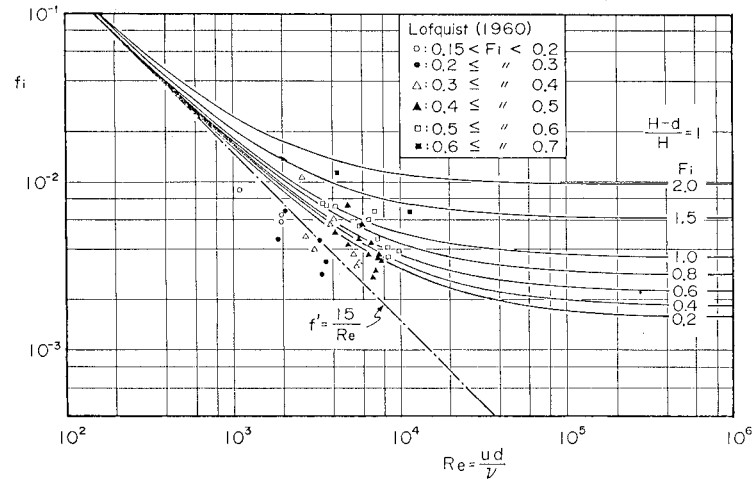


図-5. Lofquist の下層流と (10) 式の関係。

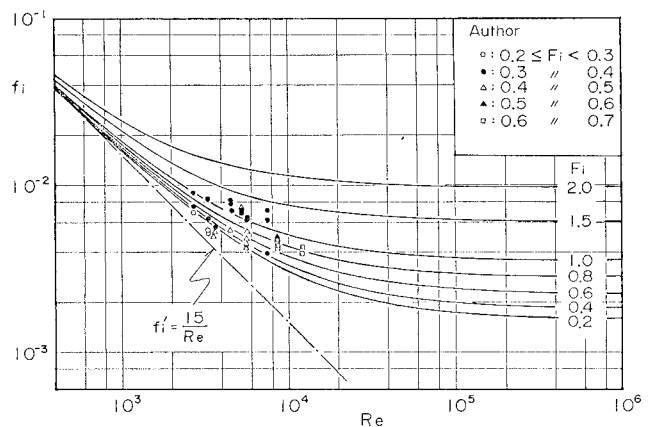


図-6. 著者らの上層流と (10) 式の関係。